
비선형 전력증폭기로인한 DS-CDMA 통신시스템의 성능분석

최성호*, 목진담*, 손동철**, 김성철***, 정희창*

Performance analysis of Non-linear Power Amplifier on The DS-CDMA Systems

Seong-ho Choi*, Jin-dam Mok*, Dong-cheul Son**, Seong-cheol Kim***, Hee-chang Chung*

요 약

본 논문에서는 CDMA 시스템의 성능분석시 이동 무선 단말기의 RF 측면에서 요구 사항인 낮은 전력소비, 단말기의 소형화등을 만족시키기 위해 증폭기의 효율을 높혀주기위한 비선형 전력 증폭기를 사용함에 있어서 증폭기의 비선형성 즉 AM-AM, AM-PM의 특성으로 인한 시스템의 성능저하에 대한 분석을 하였다. CDMA 송수신기를 구성하여 시간영역에서의 왜곡된 신호의 파형, 신호성좌(signal vector constellation) 특성을 통해 증폭기의 진폭, 위상 비 선형성으로인해 심볼간 간섭이나 위상 왜곡등의 현상이 나타남을 알 수 있었다. 또한 주파수 영역에서의 전력스펙트럼밀도의 분석을 통해 진폭특성의 비선형성으로 인해 측대파 재생의 현상이 두드러짐을 볼 수 있었다. 이러한 현상으로인해 타 사용자와 이웃채널사용자의 간섭전력의 증가로인해 BER성능이 저하됨을 볼 수 있었다. 이러한 분석방법은 전력증폭기의 비선형성뿐만 아니라 혼합기나 스위치 등과 같은 다른 비선형 부품의 특성으로 인한 성능분석에도 적용할 수 있을 것으로 생각된다. 또한 서로 다른 시스템상 호간의 이웃채널간섭이나 불요파 방사등의 영향을 분석하는데도 도움이 될것으로 생각된다.

Abstracts

In this paper the system performance degradation resulting from nonlinear transmitter power amplifier which

* 한국전자통신연구원 기술기준팀

** 순천 청암대학 전임강사

*** 우송대학교 전자공학과 전임강사

접수일자 : 1998년 11월 3일

is essential to increase the efficiency is analysed in a CDMA system. The power amplifier is modeled by its AM-AM, AM-PM characteristics. The effects of power amplifier's nonlinearity such as intersymbol interference, phase distortion on the RF system performance were visualized by examining the distorted time domain waveforms, signal vector constellation. And through the investigation of the power spectrum density of the transmitted signal, spectral regrowth or sideband regrowth which is result from amplitude distortion can be seen. All these characteristics result in BER performance degradation due to other user interferences and intersymbol interference. The analysis technique described here applies not only to power amplifier but also to any other nonlinear components such as mixers and switches. Also the effects of adjacent channel interference and supurious emission can be analysed between different systems.

I. 서 론

현재의 이동 통신 서비스는 궁극적인 무선 통신 방법으로 마이크로 셀룰러 무선 통신 시스템에 기반을 둔 IMT-2000(FPLMTS등)의 개발이 급속도로 진행되고 있다. 또한 정보화 사회가 진전되면서 미래의 정보통신 서비스형태는 현재의 음성서비스 뿐 아니라 초고속 데이터 및 화상통신 등과 같은 멀티미디어 시대로의 요구가 강하게 대두되고 있다. 이와 같은 무선 멀티미디어 통신서비스를 위해서는 대용량의 시스템이 필요하며 가변 및 고속의 데이터율의 처리가 용이해야 한다.

이러한 디지털 이동통신 환경에서 사용가능한 주파수 대역폭과 송신전력은 일반적으로 제한되어 있으며, 이 두 요소는 신호품질 및 가입자 수용용량과 직결되는 사항이다. 따라서 점점 더 늘어날 가입자를 수용하고 서비스 품질을 개선하기 위해선 보다 효과적인 신호 전송기술이 요구된다. 이를 위해 크게 기저대역과 RF 측면 두 부분으로 나뉘어 연구가 활발히 진행되고 있다. 기저대역 측면에서는 신호 주파수 대역과 전송 신호의 전력에 있어 보다 효율적인 변조 기법 및 코딩 기법에 대한 연구가 활발히 이루어지고 있다. 소스코딩, 채널코딩, 신호변조 등은 확산대역통신 뿐만이 아닌 다른 모든 통신방법에서 전송신호의 품질향상을 위해 이미 오래전부터 세계적으로 연구되어 왔으며, 현재에도 여러 통신환경에 대한 코딩 및 변조 기법이 연구되고 있다.

RF 측면에서보면 주파수대역의 효율을 고려할 경우 선형 전력 증폭기를 사용해야 하는데 이 경우 이동 무선 단말기에 있어서 중요한 요구 사항인 낮은 전력소비, 단말기의 소형화등을 만족 시키기에는 부

적합하다. 이와 같은 요구를 만족시키기 위해서는 전력 증폭기의 효율을 높여 주어야 하는데 전력 증폭기의 효율을 높이게 되면 신호의 왜곡이 발생하게 된다. 즉 증폭기의 특성이 비 선형성을 가지게 된다[1]. 이러한 비선형 특성으로 인해 셀룰라 및 개인 휴대통신 시스템에 있어서 상호변조왜곡으로 인한 co-channel 간섭, 이웃채널 간섭 등과 측대파 재생 등의 현상을 초래한다. 이러한 비선형 왜곡을 보상해 주기 위한 연구가 많이 진행 되었으며 지금도 많은 연구가 진행되고 있다. 가장 널리 연구되고 있는 방법은 Cartesian 계환방법과 Pre-distortion 방법이다[2]-[4].

본 논문에서는 이러한 방법이 연구되어져야 할 필요성을 인식하기위해 증폭기의 비선형성 즉 AM-AM, AM-PM의 특성으로 인한 셀룰라, 개인 휴대통신 시스템등에 미치는 영향을 분석하기 위하여 시간영역에서의 진폭특성, signal constellation(신호성좌) 등의 특성과 주파수영역에서의 측대파 재생률등을 선형,비선형특성에 따라 비교 분석하였다. 또한 타사용자나 이웃하는 채널사용자의 간섭전력의 증가로 인한 BER성능에 미치는 영향을 분석하였다. 이를 위해서 II장에서는 성능 분석을 위한 시스템을 살펴보고 비선형 전력증폭기에 대한 모델링의 방법등을 서술하였고 III장에서는 앞서 언급한 특성들의 시뮬레이션 결과를 보였고 V장에서 결론을 맺었다.

II. 시스템 분석

II.1 시스템 모델

수신단에서 발생된 PN 코드는 수신된PN코드와 완벽하게 동기가 이루어져 있다고 가정하면 복조기

의 출력성분은 원하는 출력과 침간상호간섭, 배경잡음, 타 사용자 간섭성분등으로 구성된다.

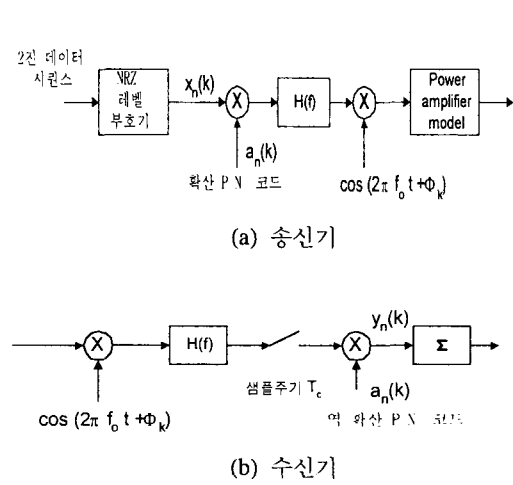


그림 1. 직접 대역확산 송 수신기의 블록도
Fig. 1 DS/SS transceiver block

원하는 신호의 평균은 식 (1)과 같이 표현된다.

$$E[y_n(k)|x_n(k)] = \sqrt{E_c(k)}x_n(k) \int_{-\infty}^{\infty} |H(f)|^2 df \quad \dots (1)$$

침간 상호 간섭신호의 평균은 0이며 분산은 식 (2)와 같이 표현된다.

$$V_I = E_c(k) \sum_{m \neq k} \left[\int_{-\infty}^{\infty} \cos(2\pi mfT_c) |H(f)|^2 df \right]^2 \quad \dots (2)$$

배경잡음의 분산은 다음과 같다.

$$V_N = \frac{N_o}{2} \quad \dots (3)$$

또한 타사용자의 간섭으로 인한 분산값은 식 (4)와 같이 표현된다.

$$V_o = \sum_{j \neq k} E_c(j) / 2 T_c \int_{-\infty}^{\infty} |H(f)|^4 df \quad \dots (4)$$

여기서 E_c : 침 에너지, N_o : 백색가우시안 잡음전력이다.

결국 AWGN하에서의 간섭신호가 존재할 때의 오차 확률은 식 (5)와 같이 표현된다.

$$P_b = Q\left(\sqrt{\frac{2E_b}{I_o}}\right) \quad \dots (5)$$

$$\text{여기서 } \frac{E_b}{I_o} = \frac{E_c(k)/(RT_c)}{N_o + \sum_{j \neq k} E_c(j)/T_c \int_{-\infty}^{\infty} |H(f)|^4 df}$$

II.2 전력증폭기의 모델

증폭기 입력 RF 신호는 다음과 같다.

$$\begin{aligned} s(t) &= r(t) \cos\{\omega_c t + \Psi(t)\} \\ &= r(t) \cos(\omega_c t) \cos[\Psi(t)] - r(t) \sin(\omega_c t) \sin[\Psi(t)] \\ &= Re[r_I(t) + j r_Q(t)] \exp(j\omega_c t) \\ &= Re[r_R(t) \exp(j\omega_c t)] \end{aligned} \quad \dots (6)$$

여기서 $r_I(t) = r(t) \cos[\Psi(t)]$, $r_Q(t) = r(t) \sin[\Psi(t)]$ 는 각각 대역통과신호 $s(t)$ 의 복소포락선 $r_B(t)$ 의 in-phase, quadrature 성분이다. 또한 복소 포락선 $r_B(t)$ 는 기저대역신호로서 다음과 같이 표현된다.

$$r_B(t) = r(t) \exp[j\Psi(t)] \quad \dots (7)$$

여기서 증폭기의 특성을 $h(t)$ 라 할 때 다음과 같이 표현된다.

$$h(t) = Re[h_B(t) \exp(j\omega_c t)] \quad \dots (8)$$

여기서 $h_B(t)$ 는 증폭기의 복소 임펄스 응답이다. 그러므로 대역통과 시스템의 해석은 등가의 기저대역 통과시스템의 해석으로 분석할 수 있다[5].

한편 대역통과 시스템에서의 해석의 경우는 신호대역이 반송파 주파수에 비해 아주 작으므로 증폭기의 비선형특성을 신호대역에 걸쳐 주파수에 독립적인 것으로 간주할 수 있다. 그러나 기저대역시스템으로 해석할 경우 적절한 형태의 등가 복소 저역통과 여파기를 고려함으로해서 주파수 의존적인 모델로 수정할 수 있다. 등가 비선형증폭기의 모델은 크게 진폭-위상 모델, 큐드러쳐 모델로 해석할 수 있다. 본 논문에서

사용한 모델은 전자의 모델이다.

이러한 진폭-위상 모델을 이용한 전력증폭기의 출력은 다음과 같다.

$$\begin{aligned} y(t) &= Re[y_B(t)\exp(j\omega_c t)] \\ &= Re\{A[r(t)]\exp j\{\phi(t) + \Phi[r(t)]\}\exp(j\omega_c t)\} \end{aligned} \quad (9)$$

이 결과로부터 입력 복소포락선과 증폭기 출력 복소 포락선과의 관계는 다음과 같다.

$$y_B(t) = \{A[r(t)]\exp j\{\Psi(t) + \Phi[r(t)]\}\} \quad (10)$$

여기서 $A[r(t)]$ 는 AM-AM 왜곡특성을 나타내며 $\Phi[r(t)]$ 는 AM-PM 왜곡특성을 의미하며 각각 다음과 같이 표현할 수 있다.

$$A[r(t)] = \frac{\alpha_a r(t)}{[1 + \beta_a r^2(t)]} \quad (11)$$

$$\Phi[r(t)] = \frac{\alpha_\phi r(t)^2}{(1 + \beta_\phi r(t)^2)} \quad (12)$$

정규화된 전력증폭기의 특성을 그림 2에 나타내었다.

II.3 측대파 재생(스피리어스 전력방사)

이 특성은 변조 신호 진폭특성이 변하기 때문에 비

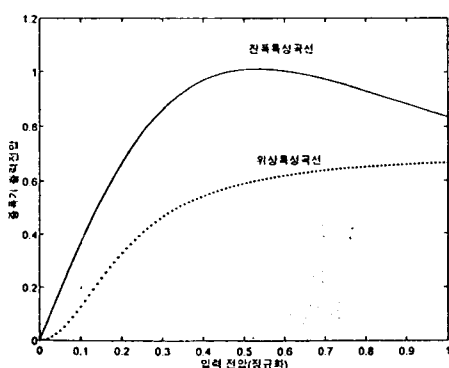


그림 2. 정규화된 전력증폭기의 특성곡선

Fig. 2 Normalized power amplifier non-linear characteristics

선형 증폭기를 통과함으로서 나타나는 현상으로서 이 특성은 송신 전력 스펙트럼밀도를 살펴봄으로서 분석이 가능하다. 전력 스펙트럼밀도는 식 (13)과 같은 전력증폭기의 출력의 자기상관함수를 구하고 이 결과를 식 (14)과 같이 이산 푸리에 변환을 함으로서 구할 수 있다.

$$R_{yy}(m) = \frac{1}{N-1} \sum_{k=0}^{\infty} y^*(k)y(k+m) \quad (13)$$

$$S_Y(k) = \frac{1}{N} \sum_{n=0}^{N-1} R_{YY} \exp(-j2\pi kn/N) \quad (14)$$

여기서 시뮬레이션에 사용된 $N = 8192$ samples이다.

III. 시뮬레이션결과

증폭기의 비선형특성을 관찰하기위해 혼합기의 비선형특성으로 인한 왜곡의 영향은 고려하지 않았다.

III.1 시간영역에서의 결과분석

앞서도 언급하였듯이 증폭기의 비선형성으로 인해 발생한 왜곡의 특성을 시간영역에서의 파형을 관찰함으로서 살펴볼수 있다. 그림3은 선형 전력증폭기의 I-channel 성분의 입출력 파형에 해당한다. 비선형 전력증폭기의 입출력 파형의 특성은 그림 4와 같다.

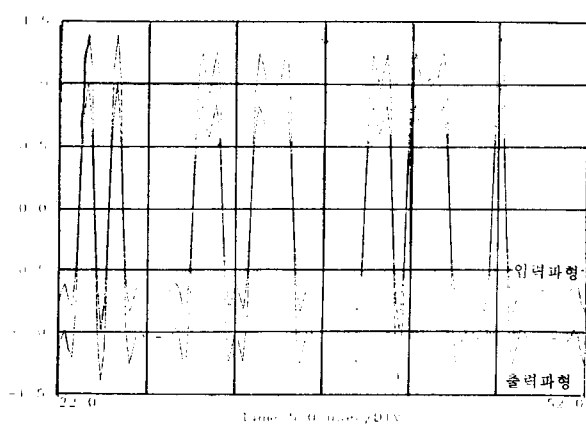


그림 3. 선형증폭기의 I-channel 입출력 파형

Fig. 3 I-channel signal for QPSK modulated baseband waveform in linear region

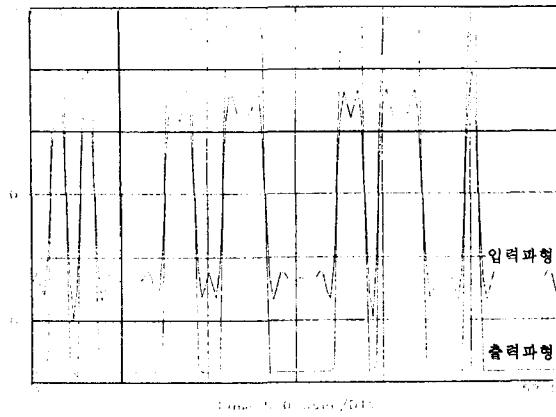


그림 4. 비선형 증폭기의 I-channel 입출력 파형
Fig. 4 I-channel signal for QPSK modulated baseband waveform in non-linear region

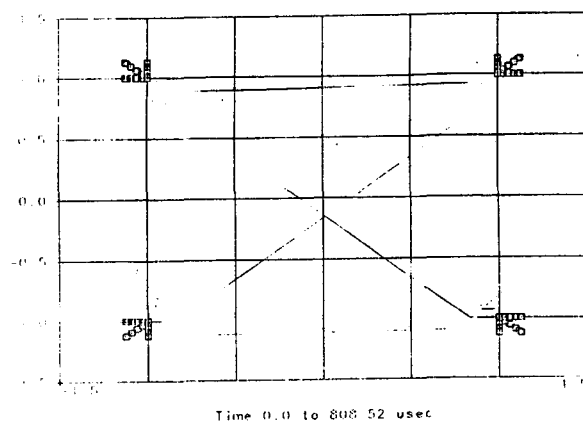


그림 5. 증폭기 입력에서의 신호성좌
Fig. 5. Signal constellations at power amplifier input

그림 5와 그림6은 각각 비선형 전력증폭기의 입력 출력 QPSK 신호 성좌 (signal constellation)를 보여주고 있다. 결과를 보면 알 수 있듯이 위상왜곡으로 인해 신호점의 좌표가 회전, 혹은 퍼져있음을 알 수 있다. 이와같은 위상왜곡은 코드동기획득과정에서 동기획득시간에 영향을 미칠뿐만아니라 심하면 비트오차를 유발하기도 한다.

III.2 주파수 영역 분석

기저대역 신호의 여파는 $\alpha=0.22$ 인 Raised cosine LPF를 이용하였다. 비선형 전력 증폭기를 사용하였을 때의 증폭기 입출력에서의 전력스펙트럼밀도를 그림 7에 나타내었다. 그림에서 보면 알 수 있듯이 증폭기가 비선형 영역에서 동작하기 때문에 여파된 측대파 신호의 재생 현상이 심하게 나타남을 볼 수 있다. 측정된 신호의 평균전력은 28dBm이다. 대역외 방사성분과 스펜리어스 성분을 관찰하기위하여 resolution bandwidth를 30kHz로 하여 평균전력을 측정하였다. 전력스펙트럼은 그림 8과 같다. 중심주파수로부터 각각 $\pm 750\text{kHz}$ 와 $\pm 1.98\text{MHz}$ 에서의 전력은 평균전력에 비해 각각 약 $-43\text{ dBc}/30\text{kHz}$, $-50\text{ dBc}/30\text{kHz}$ 로 측정되었다. 중심주파수로부터 3.125 MHz 이상 벗어난 지역에서의 스펜리어스 방사성분의 전력은 -35 dBm 이다.

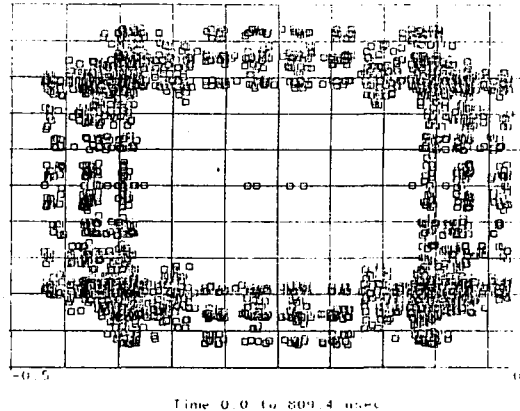


그림 6. 증폭기 출력에서의 신호성좌
Fig. 6 Signal constellations at power amplifier output

반면에 전력증폭기가 선형영역에서 동작하도록 증폭기를 설계한 경우 증폭기 입출력에서의 전력스펙트럼밀도는 그림 9와 같다. 그림에서 보면 알 수 있듯이 증폭기가 선형영역에서 동작할 경우 측대파 재생현상은 거의 일어나지 않음을 알 수 있다. 대역외 방사성분과 스펜리어스 성분을 관찰하기위하여 비선형증폭기의 경우와 같은 방법으로 평균전력을 측정하였다.

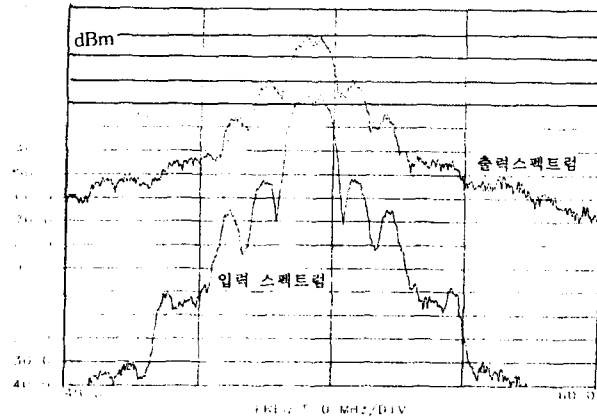


그림 7. 비선형 증폭기의 비선형영역에서의 입출력 전력스펙트럼

Fig. 7. Power spectrum density at in-output of the nonlinear power amplifier

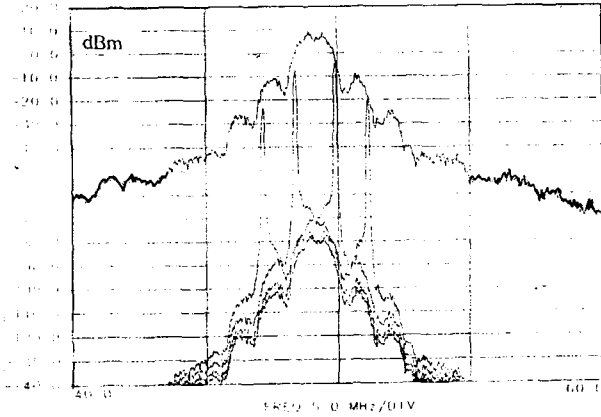


그림 8. 측대파 재생현상 측정을 위한 비선형 증폭기의 출력 전력스펙트럼

Fig. 8. Power spectrum density for measuring side-lobe regeneration

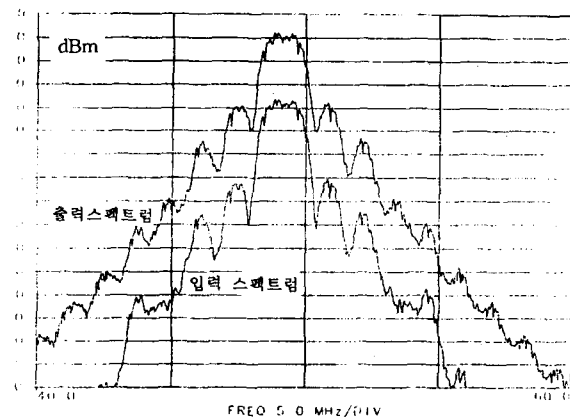


그림 9. 선형 증폭기의 입출력 전력스펙트럼

Fig. 9 Power spectrum density at in-output of the linear power amplifier

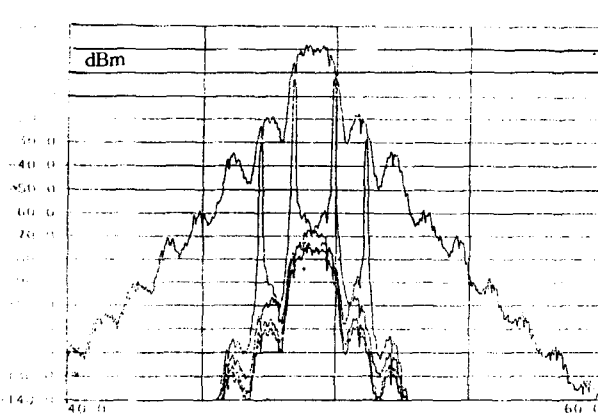


그림 10. 측대파 재생현상 측정을 위한 선형 증폭기의 출력 전력스펙트럼

Fig. 10. Power spectrum density for measuring side-lobe regeneration

전력스펙트럼은 그림 10과 같다. 중심주파수로부터 각각 $\pm 750\text{kHz}$ 와 $\pm 1.98\text{MHz}$ 에서 측정된 전력은 각각 $-44\text{dBc}/30\text{kHz}$, $-55\text{dBc}/30\text{kHz}$ 이다. 중심주파수로부터 3.125MHz 이상 떠어난 지역에서의 스판리어스 방사성분의 전력은 -50dB 이다.

두 결과를 살펴보면 $\pm 1.98\text{MHz}$ 에서의 대역외 방

사성분은 선형전력증폭기에 비해 비선형전력증폭기의 경우 약 $4\text{-}5\text{ dB}$ 이상이 증가하였으며 스팬리어스 성분의 경우 비선형 전력증폭기를 사용하였을 경우 선형 증폭기를 사용한 경우에 비해 약 15dB 이상의 측대파 재생이 큰 것을 알 수 있다. 결과적으로 증폭기

가 비선형 영역에서 동작할 경우 스피리어스 성분의 재생으로인한 인접채널 및 다른 서비스영역에 미치는 영향이 심함을 알 수 있다. 이러한 측대파 재생 현상은 AM-AM 비 선형성의 특성으로 인해 발생된다.

III.3 BER 성능분석

시간 영역과 주파수 영역에서 살펴본 결과에 의해 시스템의 성능분석의 중요 파라미터인 비트에러률을 선형,비선형영역에서 사용자수에 따라 분석한 결과는 다음 그림 11, 12과 같다.

그림의 결과를 보면 알 수 있듯이 증폭기가 선형영역에서 동작할 경우 사용자수가 증가함에따라 성능의 저하가 심하게 일어나지않는 반면 비 선형영역에서

동작할 경우 측대파의 재생과 신호성분의 왜곡의 영향으로 사용자수가 증가함에 따라 성능의 저하가 선형영역에서보다 심하게 됨을 알 수 있다. 또한 낮은 신호대 잡음비에서보다 높은 신호대 잡음비에서의 성능의 저하가 심함을 알 수 있다.이는 낮은 신호대 잡음비에서보다 높은 신호대 잡음비에서 비선형성이 두드러지게 나타남을 알 수 있다.

IV. 결 론

전력증폭기의 비선형성으로 인한 시스템의 성능저하에 대한 분석을 하였다. CDMA 송신기를 구성하여 시간영역에서의 왜곡된 신호의 과정, 신호성좌(signal vector constellation) 특성을 통해 증폭기의 진폭, 위상 비 선형성으로인해 심볼간 간섭이나 위상 왜곡등의 현상이 나타남을 알 수 있었다. 또한 대역외 방사성분과 스피리어스 방사성분의 측정을 위해 주파수 영역에서의 전력스펙트럼밀도의 분석을 함으로서 증폭기가 선형영역에서 동작할 때 측대파 재생 현상을 완화 시킬수 있음을 볼 수 있었다. 증폭기가 선형영역에서 동작할 경우 사용자수가 증가함에따라 성능의 저하가 심하게 일어나지않는 반면 비 선형영역에서 동작할 경우 측대파의 재생과 신호성분의 왜곡의 영향으로 사용자수가 증가함에 따라 성능의 저하가 선형영역에서보다 심하게 됨을 알 수 있다.이와 같은 분석을 통해 RF 통신시스템에 있어서의 전력 증폭기의 비선형성으로 인한 영향을 알 수 있다. 이러한 분석방법은 전력증폭기의 비선형성뿐만 아니라 혼합기나 스위치 등과 같은 다른 비선형 부품의 특성으로 인한 성능분석에도 적용할 수 있을 것으로 생각된다. 또한 서로 다른 시스템 상호간의 이웃채널간섭이나 불요파 방사등의 영향을 분석하는데도 도움이 될것으로 생각된다. 앞으로 전력증폭기의 특성을 선형화 하는 방법과 이러한 비선형 특성을 극복하기위한 다양한 일정 진폭특성을 갖는 변조방법들이 연구되어야 할 것으로 생각된다.

참고문헌

- [1] A.A.M. Saleh, "Frequency independent and Frequency dependent nonlinear models of TWT

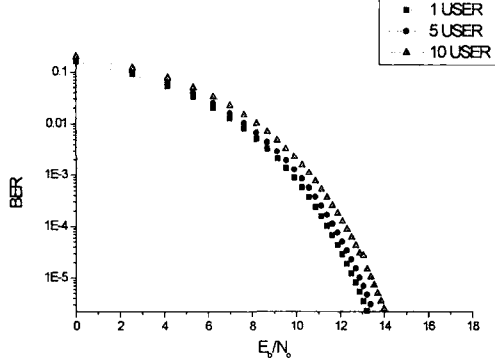


그림 11. 선형영역에서의 사용자수에 따른 BER 성능
Fig. 11 BER performance in linear region

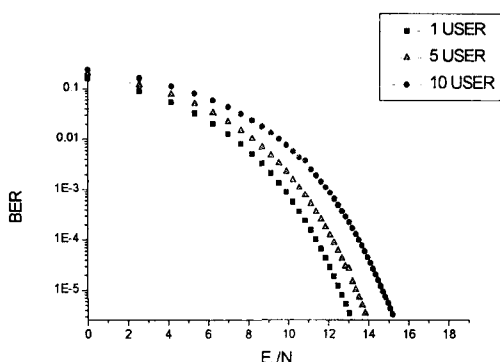


그림 12. 비선형 영역에서의 사용자수에 따른 BER 성능
Fig. 12. BER performance in non-linear region

- Amplifiers," IEEE Trans. on Communications, vol. COM29, no.4, pp.1715-1720, Nov.1981.
- [2] A.A.M. Saleh and J. Salz, "Adaptive linearization of power amplifiers in digital radio systems," Bell syst. Tech J., vol. 62, no .4, pp.1091-1033, April 1983.
- [3] Michael Faulkner and Mats Johansson, "Adaptive linearization using predistortion -experimental results," IEEE Trans. on VTC., vol. 43, no. 2, pp.323-332, May 1994.
- [4] James K. Cavers, "The effect of Quadrature Modulator and Demodulator Errors on adaptive digital predistorters for amplifier linearization," IEEE Trans. on VTC., vol. 46, no. 2, pp.456-466, May 1997.
- [5] John G. Proakis, Digital Communications, McGraw-Hill, New York, 2nd edition,1989.



최 성 호(Seong-ho Choi)
1989년 광운대학교 컴퓨터공학과
학사
1991년 광운대학교 대학원 컴퓨터
공학과 졸업 석사
1991년 2월 - 1994년 8월 리버티
시스템(주) 연구소 주임연구원

1984년 8월 ~ 현재 한국전자통신연구원 기술기준연
구팀 신임연구원
주관심분야 : ATM, IMT-2000, 이동통신, 전파통신
기술기준 및 표준화



목 진 담(Jin-dam Mok)
1980년 연세대학교 공과대학 전자
공학과 졸업 학사
1982년 연세대학교 대학원 전자
공학과 졸업 석사
1981년 7월~ 현재 : 한국전자통
신연구원 기술기준연구팀 책임

연구원

주관심분야 : 전파특성, 이동통신 무선인터넷페이스,
IMT-2000, LMDS, 전기통신 기술기
준 및 전파법규, 무선통신 표준화, 콘
퓨터 네트워크



손 동 철(Dong-chul Son)
1983년 경북대학교 전자과졸업
학사
1985년 경북대학교 대학원 컴퓨터
공학과 졸업 석사
1998년 충북대학교 대학원 정보
통신과 박사과정 수료
1983년~1998년 한국전자통신연구원 선임연구원
1998~현재 순천청암대학 전강
주관심분야 : PCN, WLL, IMT-2000, 주파수 할당, 유
무선통신관련 기준안, CDMA의 traffic
model과 프로토콜

김 성 철(Seong-cheol Kim)

1987년 고려대학교 전자과 졸업 학사
1985년 고려대학교 대학원 전자공학과 졸업 석사
1997년 8월 고려대학교 대학원 전자공학과 졸업 박사
1989년 ~ 1994년 삼성전자(주) 주임연구원
1997년 3월 ~ 현재 우송대학교 전임강사
주관심분야 : PCN, WLL, IMT-2000, CDMA의
traffic model 과 프로토콜



정희창(Hee-chang Chung)
1980년 고려대학교 공과대학 전자
공학과 졸업 (학사)
1989년 아주대학교 대학원 전자
공학과 졸업 (석사)
1997년 아주대학교 대학원 전자
공학과 졸업 (박사)
1980년 4월~ 현재 : 한국전자통신연구원 기술기준
연구팀 팀장
주관심분야 : 전파통신 기술기준 및 표준화